

УДК 519.688, 004.272.2

doi 10.26089/NumMet.v21r328

ОБ ОДНОМ ИТЕРАЦИОННОМ МЕТОДЕ РЕШЕНИЯ ЗАДАЧ ЛИНЕЙНОГО ПРОГРАММИРОВАНИЯ НА КЛАСТЕРНЫХ ВЫЧИСЛИТЕЛЬНЫХ СИСТЕМАХ

И. М. Соколинская¹, Л. Б. Соколинский²

Статья посвящена исследованию нового метода решения сверхбольших задач линейного программирования. Указанный метод получил название “апекс-метод”. Апекс-метод работает по схеме предиктор-корректор. На фазе предиктор находится точка, лежащая на границе n -мерного многогранника, задающего допустимую область задачи линейного программирования. На фазе корректор организуется итерационный процесс, в результате которого строится последовательность точек, сходящаяся к точному решению задачи линейного программирования. В статье дается формальное описание апекс-метода и приводятся сведения о его параллельной реализации на языке C++ с использованием библиотеки MPI. Приводятся результаты масштабных вычислительных экспериментов на кластерной вычислительной системе по исследованию масштабируемости апекс-метода.

Ключевые слова: линейное программирование, задача линейного программирования большой размерности, апекс-метод, схема предиктор-корректор, итерационный метод, параллельный алгоритм, кластерная вычислительная система.

1. Введение. Быстрое развитие технологий накопления и обработки больших данных [1, 2] привело к появлению оптимизационных математических моделей в виде сверхбольших задач линейного программирования (ЛП) [3]. Такие задачи возникают в промышленности, экономике, логистике, статистике, квантовой физике и других областях [4–7]. Классическое программное обеспечение во многих случаях не позволяет решить подобные масштабные задачи линейного программирования за приемлемое время [8]. Вместе с тем в ближайшие 2–3 года появятся вычислительные системы экзафлопсного уровня производительности [9], потенциально способные решать подобные задачи. В соответствии с этим актуальной является задача разработки новых эффективных методов для решения сверхбольших задач линейного программирования с помощью экзамастатных вычислительных систем.

До настоящего времени одним из самых распространенных способов решения задачи ЛП являлся класс алгоритмов, предложенных и разработанных Данцигом на основе симплекс-метода [10]. Симплекс-метод оказался эффективным для решения большого класса задач ЛП. Однако симплекс-метод имеет некоторые фундаментальные особенности, ограничивающие его применение для больших задач линейного программирования. Во-первых, в определенных случаях симплекс-методу приходится перебирать все вершины симплекса, что соответствует экспоненциальной временной сложности [11–13]. Во-вторых, симплекс-метод в большинстве случаев удовлетворительно решает задачи ЛП, содержащие до 50000 переменных, однако на больших задачах часто наблюдается потеря точности [14], которая не может быть компенсирована даже путем применения таких ресурсоемких процедур, как “аффинное масштабирование” или “итерационное уточнение” [15]. В-третьих, в общем случае симплекс-метод плохо масштабируется на многопроцессорных системах с распределенной памятью. Были предприняты многочисленные попытки построить масштабируемую реализацию симплекс-метода, однако они не увенчались успехом [16]. Во всех случаях граница масштабируемости составляла от 16 до 32 процессорных узлов (например [17]). Хачиян в [18] предложил вариацию метода эллипсоидов Шора–Юдина–Немировского [19, 20], решающую любую

¹ Южно-Уральский государственный университет (национальный исследовательский университет), просп. Ленина, 76, 454080, Челябинск; к.ф.-м.н., доцент, e-mail: irina.sokolinskaya@susu.ru

² Южно-Уральский государственный университет (национальный исследовательский университет), просп. Ленина, 76, 454080, Челябинск; д.ф.-м.н., профессор, проректор по информатизации, e-mail: leonid.sokolinsky@susu.ru, ORCID 0000-0001-9997-3918

задачу ЛП за полиномиальное время, однако попытки применить этот подход на практике оказались безуспешными, так как в подавляющем большинстве случаев алгоритм Хачияна демонстрировал намного худшую эффективность по сравнению с симплекс-методом. Основываясь на работе Хачияна, Кармаркар в работе [21] предложил метод внутренних точек, который демонстрирует полиномиальное время решения задачи ЛП и применим на практике. Итерационные алгоритмы, основанные на методе Кармаркара, способны решать сверхбольшие задачи ЛП с миллионами переменных и миллионами уравнений [22–26]. Более того, эти алгоритмы являются самокорректирующимися, и поэтому обеспечивают высокую точность вычислений. В качестве недостатка метода внутренних точек следует отметить тот факт, что для начала работы алгоритма необходимо иметь точку, удовлетворяющую всем ограничениям задачи линейного программирования. Нахождение такой внутренней точки может сводиться к решению дополнительной задачи линейного программирования [27]. В качестве альтернативы можно указать метод псевдопроекции, основанный на использовании фейеровских отображений [28]. Еще одним существенным недостатком метода внутренних точек является его плохая масштабируемость применительно к многопроцессорным системам с распределенной памятью. Было сделано несколько попыток построить параллельную реализацию для частных случаев (например [29, 30]), но эффективную параллельную реализацию для экзаменационных многопроцессорных систем в общем случае построить не удалось. В соответствии с этим является актуальным направление исследований, связанное с поиском новых масштабируемых методов решения задач линейного программирования.

Авторами в работе [3] был предложен масштабируемый итерационный метод по схеме предиктор-корректор для решения больших задач линейного программирования, ориентированный на кластерные вычислительные системы. Метод состоит из двух фаз: *Quest* (поиск) и *Target* (позиционирование). На фазе *Quest* происходит поиск допустимой точки, удовлетворяющей системе неравенств, задающих ограничения задачи линейного программирования. На фазе *Target* строится последовательность допустимых точек, сходящаяся к точному решению задачи линейного программирования. Исследованию фазы *Quest* были посвящены работы [3, 31–33]. В работе [31] было введено понятие псевдопроекции на выпуклое замкнутое множество, обобщающее понятие проекции. Метод псевдопроекции применяется на фазе *Quest* для нахождения начальной допустимой точки. Для вычисления псевдопроекции используются фейеровские приближения [34], способные “самоисправляться” при накоплении погрешности вычислений. В статье [32] было показано, что при вычислении псевдопроекции на многогранники большой размерности могут эффективно использоваться многоядерные ускорители. В [3] была доказана теорема о необходимом условии сходимости итерационного процесса вычисления псевдопроекции в случае, когда исходные данные изменяются в результате параллельного переноса многогранника. В работе [35] был предложен алгоритм для фазы *Target*, в соответствии с которым формируется специальная система точек, имеющая форму n -мерного осесимметричного креста, которая передвигается в n -мерном пространстве таким образом, чтобы решение задачи линейного программирования постоянно находилось в ε -окрестности центральной точки креста. Однако, вычислительная сложность этого алгоритма характеризуется экспоненциальной зависимостью от размерности задачи.

В данной статье предлагается и исследуется новый масштабируемый итерационный метод решения больших задач линейного программирования, ориентированный на кластерные вычислительные системы. Указанный метод получил название “апекс-метод”. Апекс-метод также состоит из двух фаз — *Quest* и *Target*, однако, в отличие от предыдущего подхода, имеет полиномиальную сложность. Статья организована следующим образом. В разделе 2 дается математическая постановка задачи и формальное описание апекс-метода. В разделе 3 приводятся сведения о параллельной программной реализации фазы *Target* и описываются результаты масштабных вычислительных экспериментов по исследованию масштабируемости апекс-метода на большой кластерной вычислительной системе. В разделе 4 суммируются полученные результаты и намечаются направления дальнейших исследований.

2. Апекс-метод. Пусть в пространстве \mathbb{R}^n задана задача ЛП

$$\bar{x} = \arg \max \{ \langle c, x \rangle \mid Ax \leq b \}^1, \quad (1)$$

¹ $\langle c, x \rangle$ обозначает скалярное произведение двух векторов.

где матрица A имеет m строк. Мы здесь предполагаем, что ограничение $x \geq 0$ также включено в систему $Ax \leq b$ в виде неравенств

$$\begin{array}{cccccccccccc} -x_1 & + & 0 & + & \dots & \dots & \dots & + & 0 & \leq & 0; \\ 0 & - & x_2 & + & 0 & + & \dots & + & 0 & \leq & 0; \\ \dots & \dots & \dots & \dots & \dots & \dots & \dots & \dots & \dots & \dots & \dots \\ 0 & + & \dots & \dots & \dots & + & 0 & - & x_n & \leq & 0. \end{array}$$

Обозначим через a_i i -тую строку матрицы A . Везде далее мы предполагаем, что a_i не равна нулевому вектору для всех $i = 1, \dots, m$. Обозначим через M n -мерный многогранник, ограничивающий множество допустимых точек задачи (1). Такой многогранник всегда является выпуклым замкнутым множеством. Мы также будем предполагать, что многогранник M является ограниченным. По определению, точка x является *граничной* по отношению к многограннику M , если любая ее окрестность имеет непустое пересечение как с M , так и с его дополнением. Определим *границу* Γ_M многогранника M как множество всех его граничных точек.

Апекс-метод строится по схеме предиктор-корректор [36] и состоит из двух фаз: *Quest* (предиктор) и *Target* (корректор). Фаза *Quest* находит некоторую точку $\tilde{x} \in M$. Фаза *Target*, используя \tilde{x} , вычисляет последовательность точек $\{u_0, u_1, \dots, u_k, \dots\}$, обладающую следующими свойствами:

$$u_k \in \Gamma_M; \tag{2}$$

$$\langle c, u_k \rangle < \langle c, u_{k+1} \rangle; \tag{3}$$

$$\lim_{k \rightarrow \infty} \langle c, u_k \rangle = \bar{x}. \tag{4}$$

Условие (2) означает, что все точки последовательности “лежат” на границе многогранника. Условие (3) означает, что значение целевой функции в каждой следующей точке должно быть больше, чем в предыдущей. Условие (4) означает, что последовательность сходится к точному решению задачи (1).

Фаза *Quest* находит точку $\tilde{x} \in M$, используя операцию *псевдопроектирования* [28], являющуюся обобщением операции ортогонального проектирования. Дадим ее формальное определение. Пусть задано отображение $\varphi_M : \mathbb{R}^n \rightarrow \mathbb{R}^n$:

$$\varphi_M(x) = \frac{1}{h} \sum_{i=1}^m \rho_i^+(x), \tag{5}$$

где

$$\rho_i^+(x) = \frac{\max\{\langle a_i, x \rangle - b_i, 0\}}{\|a_i\|^2} a_i, \tag{6}$$

h — количество ненулевых слагаемых в сумме $\sum_{i=1}^m \rho_i^+(x)$. Тогда *псевдопроекция* $\pi_M(x)$ точки x на многогранник M определяется следующей формулой:

$$\pi_M(x) = \lim_{k \rightarrow \infty} \varphi_M^{(k)}(x), \tag{7}$$

где

$$\varphi_M^{(k)}(x) = \underbrace{\varphi_M(\varphi_M(\dots \varphi_M(x) \dots))}_k.$$

Рассмотрим итерационный алгоритм 1, реализующий операцию псевдопроектирования. Алгоритм завершает свою работу, когда расстояние между соседними приближениями становится меньше малой величины $\varepsilon > 0$, являющейся параметром алгоритма. Доказательство сходимости алгоритма 1 можно найти в статье [37]. В работе [38] авторами была предложена и исследована масштабируемая параллельная реализация алгоритма 1 в виде операций над списками. С использованием стоимостной метрики модели параллельных вычислений BSF [39] было показано, что граница масштабируемости² указанного параллельного алгоритма может быть оценена, как $O(\sqrt{n})$.

Алгоритм 1. Вычисление псевдопроекции

- 1: **input** x_0
 - 2: $k := 0$
 - 3: $x_{k+1} := x_k - \varphi_M(x_k)$
 - 4: **if** $\|x_{k+1} - x_k\| < \varepsilon$ **goto** 7
 - 5: $k := k + 1$
 - 6: **goto** 3
 - 7: **output** $\tilde{x} = x_{k+1}$
 - 8: **stop**
-

²Под границей масштабируемости параллельного алгоритма для кластерной вычислительной системы понимается максимальное количество вычислительных узлов, вплоть до которого наблюдается рост ускорения, то есть распараллеливание является эффективным.

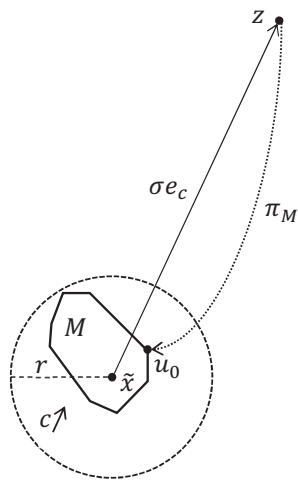


Рис. 1. Построение начального приближения u_0

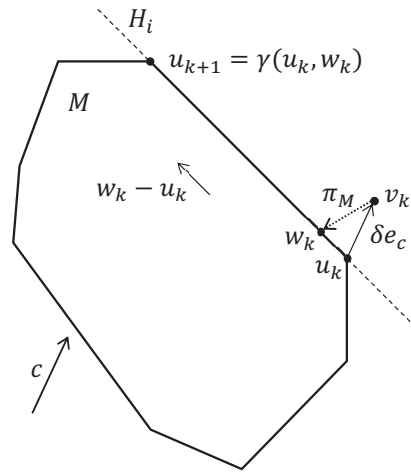


Рис. 2. Построение следующего приближения $u_{k+1} = \gamma(u_k, w_k)$

Фаза *Target* вычисляет последовательность точек $\{u_0, u_1, \dots, u_k, \dots\}$, удовлетворяющую свойствам (2)–(4), сходящуюся к точному решению задачи (1). Для вычисления начального приближения u_0 используется точка *апекса* z , которая определяется следующим образом. Пусть $\tilde{x} \in M$ — точка, полученная на фазе *Quest*. Обозначим через S n -мерный шар с радиусом r и центром в точке \tilde{x} , обладающий свойством: $M \subset S$ (рис. 1). Зафиксируем некоторое положительное число $\sigma \in \mathbb{R}_{>0}$, такое, что $\sigma \gg r$. Определим единичный вектор

$$e_c = \frac{c}{\|c\|},$$

где c — вектор коэффициентов целевой функции задачи (1). Тогда *точка апекса* вычисляется по формуле

$$z = \tilde{x} + \sigma e_c. \tag{8}$$

Зададим начальное приближение u_0 следующим образом:

$$u_0 = \pi_M(z),$$

то есть u_0 получается в результате псевдопроектирования точки *апекса* z на многогранник M . Используя схему доказательства сходимости алгоритма из [37], несложно показать, что в этом случае точка u_0 будет лежать на границе Γ_M многогранника M . Это означает, что найдется гиперплоскость H_i ($i \in \{1, \dots, m\}$), определяемая уравнением $\langle a_i, x \rangle = b_i$, такая, что

$$u_0 \in H_i \cap \Gamma_M. \tag{9}$$

Таким образом для точки u_0 выполняется условие (2).

Теперь предположим, что уже найдено приближение u_k ($k \in \mathbb{Z}_{\geq 0}$), удовлетворяющее условиям (2) и (3). Для построения следующего приближения u_{k+1} вычислим промежуточную точку

$$v_k = u_k + \delta e_c, \tag{10}$$

которая получается путем прибавления к точке u_k единичного вектора e_c , сонаправленного с вектором коэффициентов целевой функции c , умноженным на малую величину $\delta \in \mathbb{R}_{>0}$ (рис. 2). Применив операцию псевдопроектирования π_M к точке v_k , получаем следующую промежуточную точку

$$w_k = \pi_M(v_k). \tag{11}$$

Поскольку отображение φ_M , используемое для вычисления псевдопроекции в формуле (7), является однозначным M -фейеровским³ отображением [34], то при достаточно малом δ из (9) и (10) следует, что

³Однозначное отображение $\varphi_M : \mathbb{R}^n \rightarrow \mathbb{R}^n$ называется *фейеровским* относительно множества M или кратко *M-фейеровским*, если $\forall y \in M (\varphi(y) = y) \vee \forall x \notin M (\forall y \in M (\|\varphi(x) - y\| < \|x - y\|))$.

$w_k \in H_i \cap \Gamma_M$, то есть w_k будет лежать на той же грани, что и u_k . Если значение целевой функции в точке u_k будет больше либо равно значению целевой функции в точке w_k , то точка u_k принимается за приближенное решение задачи (1). Предположим, что справедливо обратное, то есть $\langle c, w_k \rangle > \langle c, u_k \rangle$. Определим луч $L_{u_k w_k}$, исходящий из точки u_k в направлении точки w_k :

$$L_{u_k w_k} = \{x \in \mathbb{R}^n \mid x = u_k + \eta(w_k - u_k), \eta \in \mathbb{R}_{\geq 0}\}.$$

Определим отображение $\gamma : \mathbb{R}^n \times \mathbb{R}^n \rightarrow \mathbb{R}^n$ следующим образом:

$$\gamma(u_k, w_k) = \arg \max \{\|x - u_k\| \mid x \in L_{u_k w_k} \cap M\}. \tag{12}$$

Другими словами, отображение γ вычисляет точку, лежащую на луче $L_{u_k w_k}$, принадлежащую многограннику M , и максимально удаленную от точки u_k . Указанную точку возьмем в качестве следующего приближения $u_{k+1} = \gamma(u_k, w_k)$. Очевидно, что для точки u_{k+1} также будут выполняться условия (2) и (3).

Фаза *Target* состоит из головной процедуры (алгоритм 2) и процедуры вычисления отображения γ (алгоритм 3). Сначала рассмотрим алгоритм 2. На шаге 1 вводится точка $\tilde{x} \in M$, полученная на фазе *Quest* с помощью алгоритма 1. На шаге 2 вычисляется единичный вектор e_c , сонаправленный с вектором c , координаты которого совпадают с коэффициентами целевой функции задачи (1). На шаге 3 вычисляется точка апекса z в соответствии с формулой (8) (рис. 1). На шаге 4 с помощью алгоритма 1 вычисляется начальное приближение u_0 , представляющее собой псевдопроекцию точки апекса z на многогранник M (формула (7) и рис. 1). На шаге 5 счетчик итераций k устанавливается в начальное значение 0. Итерационный цикл начинается на шаге 6, который вычисляет промежуточную точку v_k по формуле (10). На шаге 7 по формуле (11) вычисляется промежуточная точка w_k , лежащая на той же грани многогранника M , что и текущее приближение u_k (рис. 2). На шаге 8 проверяется условие завершения: если значение целевой функции в точке w_k не превышает значения целевой функции в точке u_k , то итерационный процесс заканчивается, и u_k выводится в качестве приближенного решения задачи (1). В противном случае точка w_k задает направление $(w_k - u_k)$, в котором значение целевой функции будет увеличиваться. На шаге 9 вычисляется допустимая точка u_{k+1} , в которой достигается максимум целевой функции по направлению $(w_k - u_k)$. Шаг 10 увеличивает на единицу счетчик итераций k . На шаге 11 осуществляется переход на шаг 6, начинающий следующую итерацию. Сходимость алгоритма 2 непосредственно следует из замкнутости и ограниченности многогранника M . Таким образом, условие (4) выполняется.

Вычисления приближенного значения отображения γ , определяемого формулой (12) и используемого на шаге 9 алгоритма 2, выполняются по алгоритму 3. Указанный алгоритм позволяет вычислить последовательность точек $\{t_0, t_1, \dots, t_j, \dots\}$, такую, что

$$t_0 = u_k, \tag{13}$$

$$\lim_{j \rightarrow \infty} t_j = \gamma(u_k, w_k). \tag{14}$$

Алгоритм 2. Фаза *Target*: головная процедура

- 1: **input** \tilde{x}
 - 2: $e_c := c/\|c\|$
 - 3: $z := \tilde{x} + \sigma e_c$
 - 4: $u_0 := \pi_M(z)$
 - 5: $k := 0$
 - 6: $v_k := u_k + \delta e_c$
 - 7: $w_k := \pi_M(v_k)$
 - 8: **if** $\langle c, w_k \rangle \leq \langle c, u_k \rangle$ **goto** 12
 - 9: $u_{k+1} := \gamma(u_k, w_k)$
 - 10: $k := k + 1$
 - 11: **goto** 6
 - 12: **output** $\bar{x} = u_k$
 - 13: **stop**
-

Алгоритм 3. Фаза *Target*: процедура вычисления $\gamma(u_k, w_k)$

- 1: **input** u_k, w_k
 - 2: $e_{u_k w_k} := (w_k - u_k)/\|w_k - u_k\|$
 - 3: $\tau_0 := \mu; \quad t_0 := u_k$
 - 4: $j := 0; \quad i := 0$
 - 5: **if** $\tau_i < \varepsilon$ **goto** 13
 - 6: $t_{j+1} := t_j + \tau_i e_{u_k w_k}$
 - 7: **if** $t_{j+1} \notin M$ **goto** 10
 - 8: $j := j + 1$
 - 9: **goto** 6
 - 10: $\tau_{i+1} := \tau_i/2$
 - 11: $i := i + 1$
 - 12: **goto** 5
 - 13: **output** $u_{k+1} = t_j$; **stop**
-

На шаге 1 вводятся исходные значения u_k и w_k . На шаге 2 вычисляется единичный вектор $e_{u_k w_k}$, сонаправленный с вектором $(w_k - u_k)$. На шаге 3 в качестве начального значения приращения τ_0 устанавливается константа $\mu \in \mathbb{R}_{>0}$, являющаяся параметром алгоритма, а в качестве начального приближения t_0 устанавливается точка u_k . На шаге 4 счетчики итераций j, i устанавливаются в значение 0. На шаге 5 проверяется условие завершения: если приращение τ_i меньше малой величины $\varepsilon \in \mathbb{R}_{>0}$, являющейся параметром алгоритма, то происходит переход на шаг 13, где в качестве результата выводится $u_{k+1} = t_j$, после чего алгоритм завершает свою работу. В противном случае выполняется шаг 6, вычисляющий следующее приближение t_{j+1} путем смещения точки t_j в направлении $(w_k - u_k)$ на расстояние τ_i . На шаге 7 проверяется, не вышла ли точка t_{j+1} за пределы M . Если это имеет место, то происходит переход на шаг 10, где в качестве новой величины смещения τ_{i+1} устанавливается $\frac{1}{2}\tau_i$. На шаге 11 счетчик i увеличивается на единицу и происходит переход на шаг 5 для повторного вычисления точки t_{j+1} с использованием меньшего смещения τ_i . Если при проверке условия на шаге 7 оказывается, что новое приближение t_{j+1} принадлежит многограннику M , то выполняется шаг 8, увеличивающий на единицу счетчик j , и происходит переход на шаг 6 (рис. 3). Очевидно, что последовательность точек $\{t_0, t_1, \dots, t_j, \dots\}$, генерируемая алгоритмом 3, удовлетворяет условиям (13), (14).

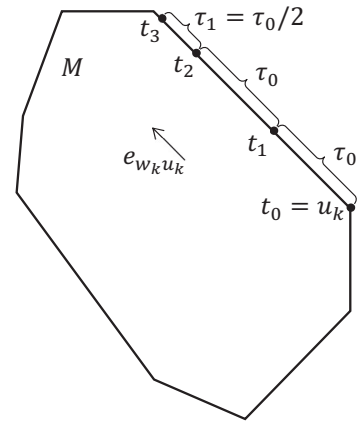


Рис. 3. Иллюстрация работы алгоритма 3

3. Программная реализация и вычислительные эксперименты. Нами была выполнена параллельная реализация алгоритма 2 на языке C++ с использованием программного каркаса BSF [40, 41] и библиотеки параллельного программирования MPI. Схема параллельной реализации идентична схеме, описанной в статье [42]. Исходные коды свободно доступны в сети Интернет по адресу <https://github.com/leonid-sokolinsky/Arpx-method>. В качестве задачи была использована масштабируемая система неравенств размерности n из статьи [32]

$$\left\{ \begin{array}{ll} x_0 & \leq 200 \\ & x_1 \leq 200 \\ & \ddots \quad \dots \dots \\ & & x_{n-1} \leq 200 \\ x_0 + x_1 \dots + x_{n-1} & \leq 200(n-1) + 100 \\ x_0 + x_1 \dots + x_{n-1} & \geq 100 \\ x_0 & \geq 100 \\ x_0 & \geq 0 \\ & x_1 \geq 0 \\ & \ddots \quad \dots \dots \\ & & x_{n-1} \geq 0 \end{array} \right. \quad (15)$$

Количество неравенств m в этой системе вычисляется по формуле $m = 2n + 2$. В качестве вектора коэффициентов целевой функции был взят вектор

$$c = (10n, 10(n-1), 10(n-2), \dots, 10). \quad (16)$$

В этом случае точным решением задачи (1) для любой размерности $n \geq 2$ будет являться точка

$$\bar{x} = (200, 200, \dots, 200, 100).$$

Таблица 1

Характеристики вычислительного кластера “Торнадо ЮУрГУ”

Количество процессорных узлов	480
Процессоры	Intel Xeon X5680 (6 cores 3.3 GHz)
Количество процессоров в узле	2
Оперативная память узла	24 GB DDR3
Соединительная сеть	InfiniBand QDR (40 Gbit/s)
Операционная система	Linux CentOS

Вычислительные эксперименты проводились на вычислительном кластере “Торнадо ЮУрГУ” [43], характеристики которого приведены в табл. 1. Результаты экспериментов представлены на рис. 4. Вычисления проводились для размерностей 5 000, 7 500 и 10 000. Количество неравенств, соответственно, составляло 10 002, 15 002 и 20 002. Эксперименты показали, что граница масштабируемости апекс-метода существенным образом зависит от размера задачи. При $n = 5000$ граница масштабируемости составила приблизительно 55 процессорных узлов. Для задачи размерности $n = 7500$ эта граница увеличилась до 80 узлов, а на задаче размерности $n = 10000$ она достигла 100 узлов. Дальнейшее увеличение размерности задачи приводило к нехватке оперативной памяти на процессорных узлах. Следует отметить, что вычисления производились с двойной точностью, при которой вещественное число представляется в формате с плавающей точкой и занимает 64 разряда. Попытка перейти на одинарную точность, требующую только 32 разряда для представления вещественного числа, оказалась неудачной из-за операции вычисления псевдопроекции, используемой на шаге 4 алгоритма 2. В этом случае алгоритм 1, вычисляющий псевдопроекцию, переставал сходиться. Эксперименты также показали, что параметр σ , определяющий в соответствии с формулой (8) удаленность точки апекса z от многогранника M (рис. 1), при больших значениях мало влияет на общее время решения задачи. Для модельного примера (15) и целевой функции с коэффициентами из формулы (16) параметр σ не может быть меньше $200n$, так как в этом случае точка апекса z окажется внутри многогранника M . Если точка апекса находится на недостаточно большом расстоянии от многогранника, то ее псевдопроекция оказывается внутренней точкой некоторой грани. Если же точку апекса взять достаточно далеко (в экспериментах использовалось значение $\sigma = 20000n$), то псевдопроекция в исследуемом примере всегда попадала в одну из вершин многогранника. Также отметим, что во всех случаях приближения u_0, u_1, u_2, \dots оказывались вершинами многогранника. Вычислительный эксперимент показал, что более 99% времени решения задачи ЛП апекс-методом приходится на вычисление псевдопроекции (шаг 4 алгоритма 2). При этом вычисление одного приближения u_k для задачи размерности $n = 10000$ на 100 процессорных узлах составило 44 минуты.

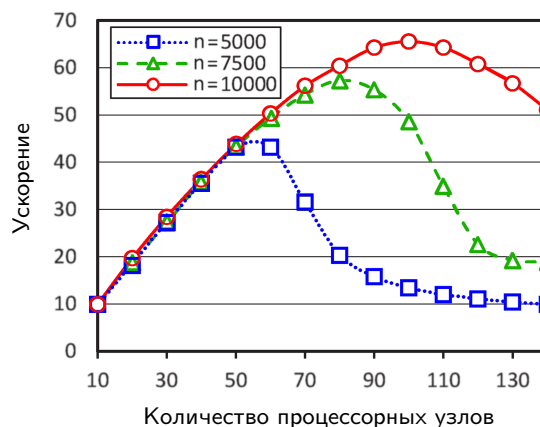


Рис. 4. Эксперименты по исследованию масштабируемости алгоритма 2

4. Заключение. В статье предложен новый масштабируемый итерационный метод решения задачи линейного программирования (ЛП), получивший название “апекс-метод”. Апекс-метод строится по схеме предиктор-корректор и состоит из двух фаз. На первой фазе, называемой *Quest*, происходит поиск допустимой точки задачи ЛП с использованием метода псевдопроекции. На второй фазе, называемой *Target*, вычисляется последовательность точек на поверхности многогранника, ограничивающей допустимую область, сходящаяся к точному решению задачи ЛП. Указанный метод реализован в виде программы на языке C++ с использованием библиотеки параллельного программирования MPI. Описаны вычислительные эксперименты по решению больших задач ЛП на кластерной вычислительной системе. Проведенные эксперименты показали, что апекс-метод масштабируется с ростом размерности задачи. Сильной стороной

апекс-метода является его “самокорректируемость” по отношению к возникающим погрешностям вычислений. Апекс-метод также потенциально может использоваться для решения нестационарных задач ЛП. Недостатком метода является высокая вычислительная сложность построения псевдопроекции.

В рамках дальнейших исследований мы планируем решить следующие задачи.

1. Выполнить математическое доказательство сходимости апекс-метода.
2. Выполнить тестирование апекс-метода на случайных задачах ЛП, генерируемых специальным алгоритмом.
3. Решить с использованием апекс-метода ряд эталонных задач из репозитория Netlib-Lp [44, 45].
4. Использовать апекс-метод для генерации тестового набора данных для разработки и обучения сверточных нейронных сетей, способных в кооперации с суперкомпьютером быстро решать сверхбольшие задачи ЛП.

Исследование выполнено при финансовой поддержке РФФИ (№ 20-07-00092 а), Правительства РФ в соответствии с Постановлением № 211 от 16.03.2013 г. (соглашение № 02.А03.21.0011) и Министерства науки и высшего образования РФ (государственное задание FENU–2020–0022).

Работа рекомендована Программным комитетом международной конференции “Суперкомпьютерные дни в России” (<https://russianscdays.org/agenda/accepted/vak>).

СПИСОК ЛИТЕРАТУРЫ

1. Jagadish H.V., Gehrke J., Labrinidis A., et al. Big data and its technical challenges // Communications of the ACM. 2014. **57**, N 7. 86–94.
2. Hartung T. Making big sense from big data // Frontiers in Big Data. 2018. **1**. doi 10.3389/fdata.2018.00005.
3. Соколинская И.М., Соколинский Л.Б. О решении задачи линейного программирования в эпоху больших данных // Параллельные вычислительные технологии — XI международная конференция, ПАВТ’2017, г. Казань, 3–7 апреля 2017 г. Челябинск: Издательский центр ЮУрГУ, 2017. 471–484.
4. Chung W. Applying large-scale linear programming in business analytics // Proc. 2015 IEEE International Conference on Industrial Engineering and Engineering Management (IEEM). New York: IEEE Press, 2016. 1860–1864.
5. Gondzio J., Gruca J.A., Hall J.A.J., et al. Solving large-scale optimization problems related to Bell’s Theorem // Journal of Computational and Applied Mathematics. 2014. **263**. 392–404.
6. Sodhi M.S. LP modeling for asset-liability management: a survey of choices and simplifications // Operations Research. 2005. **53**, N 2. 181–196.
7. Brogaard J., Hendershott T., Riordan R. High-frequency trading and price discovery // Review of Financial Studies. 2014. **27**, N 8. 2267–2306.
8. Bixby R.E. Solving real-world linear programs: a decade and more of progress // Operations research. 2002. **50**, N 1. 3–15.
9. Dongarra J., Gottlieb S., Kramer W.T.C. Race to exascale // Computing in Science & Engineering. 2019. **21**, N 1. 4–5.
10. Dantzig G.B. Linear programming and extensions. Princeton: Princeton Univ. Press, 1998.
11. Klee V., Minty G.J. How good is the simplex algorithm? // Inequalities—III. Vol. 3. New York: Academic Press, 1972. 159–175.
12. Jeroslow R.G. The simplex algorithm with the pivot rule of maximizing criterion improvement // Discrete Mathematics. 1973. **4**, N 4. 367–377.
13. Zadeh N. A bad network problem for the simplex method and other minimum cost flow algorithms // Mathematical Programming. 1973. **5**, N 1. 255–266.
14. Bartels R.H., Stoer J., Zenger Ch. A realization of the simplex method based on triangular decompositions // Handbook for Automatic Computation. Vol. II: Linear Algebra. Berlin: Springer, 1971. 152–190.
15. Tolla P. A survey of some linear programming methods // Concepts of Combinatorial Optimization. Hoboken: Wiley, 2014. 157–188.
16. Mamalis B., Pantziou G. Advances in the parallelization of the simplex method // Lecture Notes in Computer Science. Vol. 9295. Cham: Springer, 2015. 281–307.
17. Lubin M., Hall J.A.J., Petra C.G., Anitescu M. Parallel distributed-memory simplex for large-scale stochastic LP problems // Computational Optimization and Applications. 2013. **55**, N 3. 571–596.
18. Хачиян Л.Г. Полиномиальный алгоритм в линейном программировании // Доклады АН СССР. 1979. **244**, № 5. 1093–1096.
19. Шор Н.З. Метод отсечения с растяжением пространства для решения задач выпуклого программирования // Кибернетика. 1977. **13**, № 1. 94–95.

20. Юдин Д.Б., Немировский А.С. Информационная сложность и эффективные методы решения выпуклых экстремальных задач // Экономика и математические методы. 1976. **12**, № 2. 357–369.
21. Karmarkar N. A new polynomial-time algorithm for linear programming // *Combinatorica*. 1984. **4**, N 4. 373–395.
22. Fathi-Hafshejani S., Mansouri H., Peyghami M.R., Chen S. Primal-dual interior-point method for linear optimization based on a kernel function with trigonometric growth term // *Optimization*. 2018. **67**, N 10. 1605–1630.
23. Asadi S., Mansouri H. A Mehrotra type predictor–corrector interior-point algorithm for linear programming // *Numerical Algebra, Control and Optimization*. 2019. **9**, N 2. 147–156.
24. Yuan Y. Implementation tricks of interior-point methods for large-scale linear programs // *Proc. SPIE* **8285**. Graphic and Image Processing. 2011. doi: 10.1117/12.913019.
25. Kheirfam B., Haghighi M. A full-Newton step infeasible interior-point method for linear optimization based on a trigonometric kernel function // *Optimization*. 2016. **65**, N 4. 841–857.
26. Xu Y., Zhang L., Zhang J. A full-modified-Newton step infeasible interior-point algorithm for linear optimization // *Journal of Industrial and Management Optimization*. 2016. **12**, N 1. 103–116.
27. Roos C., Terlaky T., Vial J.-P. Interior point methods for linear optimization. New York: Springer, 2005.
28. Sokolinskaya I. Parallel method of pseudoprojection for linear inequalities // *Parallel Computational Technologies*. Vol. 910. Cham: Springer, 2018. 216–231.
29. Hafsteinsson H., Levkowitz R., Mitra G. Solving large scale linear programming problems using an interior point method on a massively parallel SIMD computer // *Parallel Algorithms and Applications*. 1994. **4**, N 3–4. 301–316.
30. Karypis G., Gupta A., Kumar V. A parallel formulation of interior point algorithms // *Proc. 1994 ACM/IEEE Conference on High Performance Computing, Networking, Storage, and Analysis*. Los Alamitos: IEEE Press, 1994. 204–213.
31. Еришова А.В., Соколинская И.М. О сходимости масштабируемого алгоритма построения псевдопроекции на выпуклое замкнутое множество // *Вестник ЮУрГУ. Серия: Математическое моделирование и программирование*. 2011. № 37. 12–21.
32. Соколинская И.М., Соколинский Л.Б. Модифицированный следящий алгоритм для решения нестационарных задач линейного программирования на кластерных вычислительных системах с многоядерными ускорителями // *Суперкомпьютерные дни в России: Труды международной конференции (26–27 сентября 2016 г., г. Москва)*. Москва: Изд-во МГУ, 2016. 294–306.
33. Соколинская И.М., Соколинский Л.Б. Исследование масштабируемости модифицированного алгоритма Чиммино для линейных неравенств // *Суперкомпьютерные дни в России: Труды международной конференции (24–25 сентября 2018 г., г. Москва)*. Москва: Изд-во МГУ, 2018. 673–683.
34. Ерёмин И.И. Фейеровские методы для задач выпуклой и линейной оптимизации. Челябинск: Издательский центр ЮУрГУ, 2009.
35. Соколинская И.М., Соколинский Л.Б. Масштабируемый алгоритм для решения нестационарных задач линейного программирования // *Вычислительные методы и программирование: новые вычислительные технологии*. 2018. **19**. 540–550.
36. Press W.H., Teukolsky S.A., Vetterling W.T., Flannery B.P. Numerical recipes: the art of scientific computing. New York: Cambridge Univ. Press, 2007.
37. Sensor Y., Elfving T., Herman G.T., Nikazad T. On diagonally relaxed orthogonal projection methods // *SIAM Journal on Scientific Computing*. 2008. **30**, N 1. 473–504.
38. Соколинский Л.Б., Соколинская И.М. Параллельный алгоритм решения нестационарных систем линейных неравенств // *Параллельные вычислительные технологии — XIV международная конференция (ПаВТ’2020)*, г. Пермь, 31 марта–2 апреля 2020 г. Челябинск: Издательский центр ЮУрГУ, 2020. 275–286.
39. Ежова Н.А., Соколинский Л.Б. BSF: модель параллельных вычислений для многопроцессорных систем с распределенной памятью // *Параллельные вычислительные технологии — XII международная конференция, ПаВТ’2018*, г. Ростов-на-Дону, 2–6 апреля 2018 г. Челябинск: Издательский центр ЮУрГУ, 2018. 253–265.
40. Ежова Н.А., Соколинский Л.Б. Модель параллельных вычислений для многопроцессорных систем с распределенной памятью // *Вестник ЮУрГУ. Серия: Вычислительная математика и информатика*. 2018. **7**, № 2. 32–49.
41. Sokolinsky L.B. BSF-skeleton [Electronic resource]. 2019. <https://github.com/leonid-sokolinsky/BSF-skeleton> (accessed: 27.08.2020).
42. Ежова Н.А., Соколинский Л.Б. Модель параллельных вычислений BSF-MR // *Системы управления и информационные технологии*. 2019. № 3. 15–21.
43. Kostenetskiy P.S., Safonov A.Y. SUSU supercomputer resources // *Proc. 10th Annual International Scientific Conference on Parallel Computing Technologies (PCT 2016)*. CEUR Workshop Proceedings. Vol. 1576. 2016. 561–573.
44. Gay D.M. Netlib-Lp [Electronic resource]. URL: <http://www.netlib.org/lp/> (accessed: 27.08.2020).
45. Koch T. The final NETLIB-LP results // *Operations Research Letters*. 2004. **32**, N 2. 138–142.

On an Iterative Method for Solving Linear Programming Problems on Cluster Computing Systems

I. M. Sokolinskaya¹, L. B. Sokolinsky²

¹ South Ural State University, Faculty of Computational Mathematics and Informatics; prospekt Lenina 76, Chelyabinsk, 454080, Russia; Ph.D., Associate Professor, e-mail: irina.sokolinskaya@susu.ru

² South Ural State University; prospekt Lenina 76, Chelyabinsk, 454080, Russia; Dr. Sci., Professor, Vice-Rector for Informatization, e-mail: Leonid.Sokolinsky@susu.ru; ORCID 0000-0001-9997-3918

Received June 28, 2020

Abstract: The paper is devoted to a new method for solving large-scale linear programming (LP) problems. This method is called the apex-method. The apex-method uses the predictor–corrector framework. The predictor step calculates a point belonging to the feasible region of the LP problem. The corrector step calculates a sequence of points converging to the exact solution of the LP problem. The paper gives a formal description of the apex-method and provides information about its parallel implementation in C++ language using the MPI library. The results of large-scale computational experiments on a cluster computing system to study the scalability of the apex method are discussed.

Keywords: linear programming, large-scale problems, apex-method, predictor–corrector framework, iterative method, parallel algorithm, cluster computing system

References

1. H. V. Jagadish, J. Gehrke, A. Labrinidis, et al., “Big Data and Its Technical Challenges,” *Commun. ACM* **57** (7), 86–94 (2014).
2. T. Hartung, “Making Big Sense from Big Data,” *Frontiers in Big Data* **1** (2018). doi 10.3389/fdata.2018.00005
3. I. M. Sokolinskaya and L. B. Sokolinsky, “On the Solution of Linear Programming Problem in the Era of Big Data,” in *Proc. Int. Conf. on Parallel Computational Technologies, Kazan, Russia, April 3–7, 2017* (South Ural State Univ., Chelyabinsk, 2017), pp. 471–484.
4. W. Chung, “Applying Large-Scale Linear Programming in Business Analytics,” in *Proc. IEEE Int. Conf. on Industrial Engineering and Engineering Management (IEEM), Singapore, December 6–9, 2015* (IEEE Press, New York, 2016), pp. 1860–1864.
5. J. Gondzio, J. A. Gruca, J. A. J. Hall, et al., “Solving Large-Scale Optimization Problems Related to Bell’s Theorem,” *J. Comput. Appl. Math.* **263**, 392–404 (2014).
6. M. S. Sodhi, “LP Modeling for Asset-Liability Management: A Survey of Choices and Simplifications,” *Oper. Res.* **53** (2), 181–196 (2005).
7. J. Brogaard, T. Hendershott, and R. Riordan, “High-Frequency Trading and Price Discovery,” *Rev. Financ. Stud.* **27** (8), 2267–2306 (2014).
8. R. E. Bixby, “Solving Real-World Linear Programs: A Decade and More of Progress,” *Oper. Res.* **50** (1), 3–15 (2002).
9. J. Dongarra, S. Gottlieb, and W. T. C. Kramer, “Race to Exascale,” *Comput. Sci. Eng.* **21** (1), 4–5 (2019).
10. G. B. Dantzig, *Linear Programming and Extensions* (Princeton Univ. Press, Princeton, 1998).
11. V. Klee and G. J. Minty, “How Good is the Simplex Algorithm?,” in *Inequalities III* (Academic, New York, 1972), Vol. 3, pp. 159–175.
12. R. G. Jeroslow, “The Simplex Algorithm with the Pivot Rule of Maximizing Criterion Improvement,” *Discrete Math.* **4** (4), pp. 367–377 (1973).
13. N. Zadeh, “A Bad Network Problem for the Simplex Method and Other Minimum Cost Flow Algorithms,” in *Mathematical Programming* (Springer, Berlin, 1973), Vol. 5, pp. 255–266.

14. R. H. Bartels, J. Stoer, and Ch. Zenger, "A Realization of the Simplex Method Based on Triangular Decompositions," in *Handbook for Automatic Computation. Vol. II: Linear Algebra* (Springer, Berlin, 1971), pp. 152–190.
15. P. Tolla, "A Survey of Some Linear Programming Methods," in *Concepts of Combinatorial Optimization* (Wiley, Hoboken, 2014), pp. 157–188.
16. B. Mamalis and G. Pantziou, "Advances in the Parallelization of the Simplex Method," in *Lecture Notes in Computer Science* (Springer, Cham, 2015), Vol. 9295, pp. 281–307.
17. M. Lubin, J. A. J. Hall, C. G. Petra, and M. Anitescu, "Parallel Distributed-Memory Simplex for Large-Scale Stochastic LP Problems," *Comput. Optim. Appl.* **55** (3), 571–596 (2013).
18. L. G. Khachiyan, "A Polynomial Algorithm in Linear Programming," *Dokl. Akad. Nauk. SSSR* **244** (5), 1093–1096 (1979) [*Sov. Math. Dokl.* **20**, 191–194 (1979)].
19. N. Z. Shor, "Cut-off Method with Space Extension in Convex Programming Problems," *Kibernetika*, No. 1, 94–95 (1977) [*Cybernetics* **13** (1), 94–95 (1977)].
20. D. B. Yudin and A. S. Nemirovskii, "Informational Complexity and Effective Methods for the Solution of Convex Extremal Problems," *Ekonomika Mat. Metody* **12** (2), 357–369 (1976).
21. N. Karmarkar, "A New Polynomial-Time Algorithm for Linear Programming," *Combinatorica* **4** (4), 373–395 (1984).
22. S. Fathi-Hafshejani, H. Mansouri, M. R. Peyghami, and S. Chen, "Primal-Dual Interior-Point Method for Linear Optimization Based on a Kernel Function with Trigonometric Growth Term," *Optimization* **67** (10), 1605–1630 (2018).
23. S. Asadi and H. Mansouri, "A Mehrotra Type Predictor–Corrector Interior-Point Algorithm for Linear Programming," *Numer. Algebra Control Optim.* **9** (2), 147–156 (2019).
24. Y. Yuan, "Implementation Tricks of Interior-Point Methods for Large-Scale Linear Programs," *Proc. SPIE* **8285**, Graphic and Image Processing (2011). doi 10.1117/12.913019
25. B. Kheirfam and M. Haghghi, "A Full-Newton Step Infeasible Interior-Point Method for Linear Optimization Based on a Trigonometric Kernel Function," *Optimization* **65** (4), 841–857 (2016).
26. Y. Xu, L. Zhang, and J. Zhang, "A Full-Modified-Newton Step Infeasible Interior-Point Algorithm for Linear Optimization," *J. Ind. Manag. Optim.* **12** (1), 103–116 (2016).
27. C. Roos, T. Terlaky, and J.-P. Vial, *Interior Point Methods for Linear Optimization* (Springer, New York, 2005).
28. I. Sokolinskaya, "Parallel Method of Pseudoprojection for Linear Inequalities," in *Parallel Computational Technologies* (Springer, Cham, 2018), Vol. 910, pp. 216–231.
29. H. Hafsteinsson, R. Levkowitz, and G. Mitra, "Solving Large Scale Linear Programming Problems Using an Interior Point Method on a Massively Parallel SIMD Computer," *Parallel Algorithms Appl.* **4** (3–4), 301–316 (1994).
30. G. Karypis, A. Gupta, V. Kumar, "A Parallel Formulation of Interior Point Algorithms," in *Proc. 1994 ACM/IEEE Conf. on High Performance Computing, Networking, Storage, and Analysis, Washington, DC, USA, November 14–18, 1994* (IEEE Press, Los Alamitos, 1994), pp. 204–213.
31. A. V. Ershova, I. M. Sokolinskaya, "About Convergence of Scalable Algorithm of Construction Pseudo-projection on Convex Closed Set," *Vestn. South Ural State Univ. Ser. Mat. Model. Program.*, No. 37, 12–21 (2011).
32. I. M. Sokolinskaya and L. B. Sokolinsky, "Revised Pursuit Algorithm for Solving Unstable Linear Programming Problems on Modern Computing Clusters with Manycore Accelerators," in *Proc. Int. Conf. on Russian Supercomputing Days, Moscow, Russia, September 26–27, 2016* (Mosk. Gos. Univ., Moscow, 2016), pp. 294–306.
33. I. M. Sokolinskaya and L. B. Sokolinsky, "Scalability Evaluation of a Modified Cimmino Algorithm for Linear Inequalities," in *Proc. Int. Conf. on Russian Supercomputing Days, Moscow, Russia, September 24–25, 2018* (Mosk. Gos. Univ., Moscow, 2018), pp. 673–683.
34. I. I. Eremin, *Fejer Methods for Problems of Convex and Linear Optimization* (South Ural State Univ., Chelyabinsk, 2009) [in Russian].
35. I. M. Sokolinskaya and L. B. Sokolinsky, "A Scalable Algorithm for Solving Non-Stationary Linear Programming Problems," *Vychisl. Metody Programm.* **19**, 540–550 (2018).
36. W. H. Press, S. A. Teukolsky, W. T. Vetterling, and B. P. Flannery, *Numerical Recipes: The Art of Scientific Computing* (Cambridge Univ. Press, New York, 2007).

37. Y. Censor, T. Elfving, G. T. Herman, and T. Nikazad, “On Diagonally Relaxed Orthogonal Projection Methods,” *SIAM J. Sci. Comput.* **30** (1), 473–504 (2008).
38. L. B. Sokolinsky and I. M. Sokolinskaya, “Parallel Algorithm for Solving Non-Stationary Systems of Linear Inequalities,” in *Proc. 14th Int. Conf. on Parallel Computational Technologies, Perm, Russia, March 31–April 2, 2020* (South Ural State Univ., Chelyabinsk, 2020), pp. 275–286.
39. N. A. Ezhova and L. B. Sokolinsky, “BSF: A model of Parallel Computation for Multiprocessor Systems with Distributed Memory,” in *Proc. Int. Conf. on Parallel Computational Technologies, Rostov-on-Don, Russia, April 2–6, 2018* (South Ural State Univ., Chelyabinsk, 2018), pp. 253–265.
40. N. A. Ezhova and L. B. Sokolinsky, “Parallel Computational Model for Multiprocessor Systems with Distributed Memory,” *Vestn. South Ural State Univ. Ser. Vychisl. Mat. Inf.* **7** (2), 32–49 (2018).
41. L. B. Sokolinsky, “BSF-skeleton,” (2019) <https://github.com/leonid-sokolinsky/BSF-skeleton>. Cited August 27, 2020.
42. N. A. Ezhova and L. B. Sokolinsky, “BSF-MR Parallel Computation Model,” *Sistemy Upravl. Inf. Tekhnol.*, No. 3, 15–21 (2019).
43. P. S. Kostenetskiy and A. Y. Safonov, “SUSU Supercomputer Resources,” in *Proc. 10th Annual Int. Scientific Conf. on Parallel Computing Technologies (PCT 2016), Arkhangelsk, Russia, March 29–31, 2016* CEUR Workshop Proc. **1576**, 561–573 (2016).
44. D. M. Gay, “Netlib-Lp,” <http://www.netlib.org/lp/>. Cited August 27, 2020.
45. T. Koch, “The Final NETLIB-LP Results,” *Oper. Res. Lett.* **32** (2), 138–142 (2004).